

### Niveau des nappes

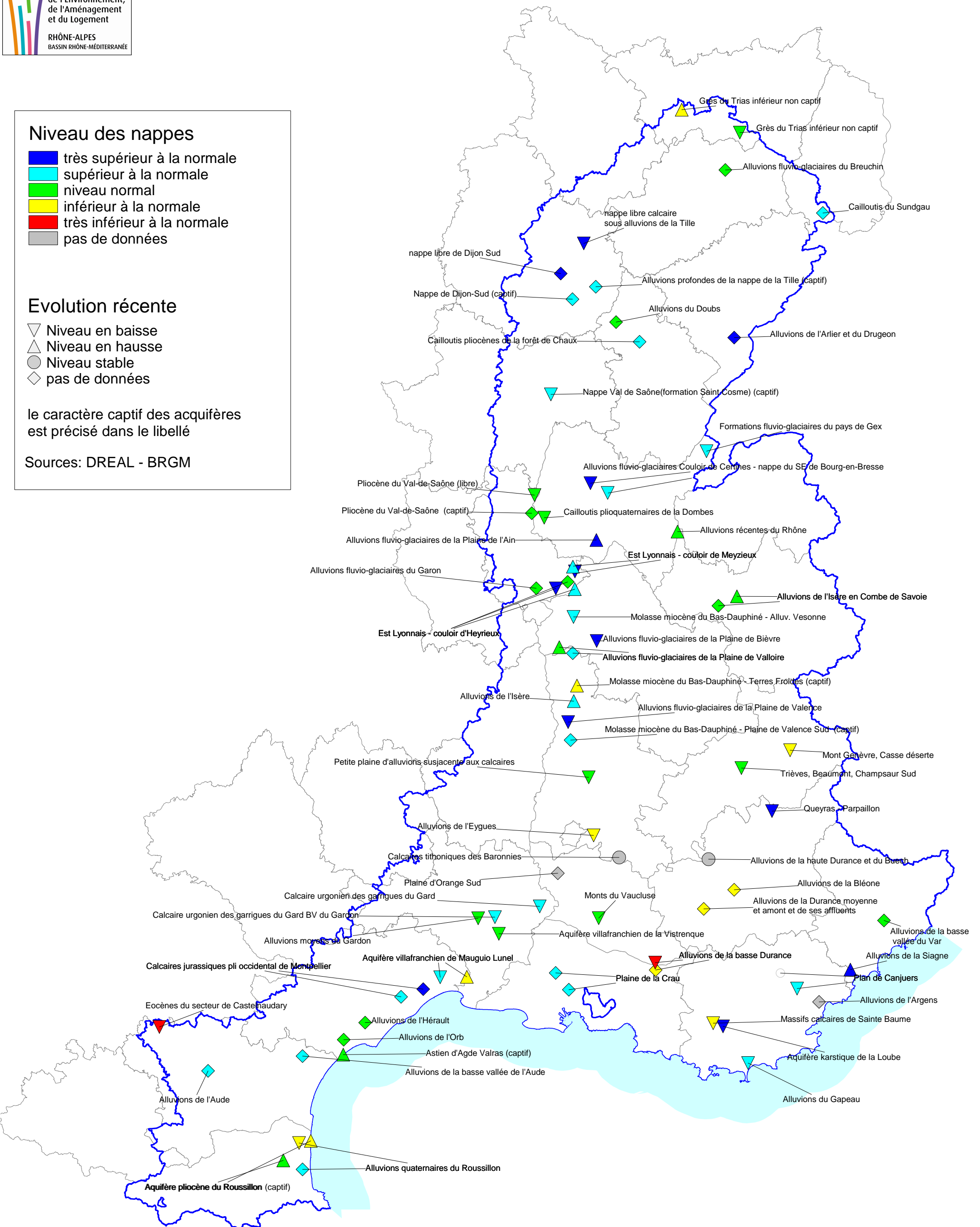
- très supérieur à la normale
- supérieur à la normale
- niveau normal
- inférieur à la normale
- très inférieur à la normale
- pas de données

### Evolution récente

- ▽ Niveau en baisse
- △ Niveau en hausse
- Niveau stable
- ◇ pas de données

le caractère captif des aquifères est précisé dans le libellé

Sources: DREAL - BRGM



# BSH - Indicateurs Ponctuels (IP) du bassin Rhône-Méditerranée

Etat au : **1er octobre 2013**

Relais bassin : DREAL bassin Rhône-Méditerranée  
Producteurs(s) : BRGM et DREAL(s)

## Niveau des nappes :

Code	Signification
5	Très supérieur à la normale
4	Supérieur à la normale
3	Niveau normal
2	Inférieur à la normale
1	Très inférieur à la normale
0	Indéterminé

## Evolution

Code
H = Hausse
S = Stable
B = Baisse
Indéterminé

Code BSS (indice / désignation)	Région	Dépt.	Commune	Lieu-dit (ou nom du point)	Lambert 2 Etendu (m)		Entité hydrogéologique (Réf BDRHF v1)	
					X	Y	Nom	Code
03387X0040/S	LOR	88	RELANGES	piezomètre Srael de Relanges	872 960	2 353 300	Grès du Trias inférieur non captif	210b
03754X0015/F2	LOR	88	PLOMBIERE les Bains	F2 dit source La Napoléonienne	906 710	2 340 000	Grès du Trias inférieur non captif	210b
04447X0028	FRC	90	FLORIMONT	Etang Fourchu	955 010	2 293 220	Cailloutis du Sundgau	173
05553X0009	FRC	39	OUSSIÈRE	Oussière	848 465	2 218 410	Cailloutis plocènes de la forêt de Chauv	104a
05285X0374	FRC	39	MOLAY	Tavaux	834 860	2 229 830	Alluvions du Doubs	102
05573X0084	FRC	25	DOMMARTIN	Houtaud	903 460	2 220 820	Alluvions de l'Arlier et du Drugeon	94i
04103X0022	FRC	70	BREUCHES	Forage C	898 290	2 318 270	Alluvions fluvioglaciales du Breuchin	85
05007X0014	BOU	21	COLLONGES LES PREMIERES	Les Champs Courbes	823 040	2 250 420	Alluvions profondes de la nappe de la Tille	174a
04994X0229	BOU	21	CHENOVE	Gendarmerie	802 730	2 258 070	Nappe libre de Dijon Sud	174 b
05271X0017	BOU	21	IZEURE	La plantation F9	809 500	2 243 140	Nappe de Dijon-Sud	174b
04702X0019	BOU	21	SPOY	Les Espeliers	816 100	2 275 557	Nappe libre calcaire sous alluvions de la Tille	99 a
05797X0145	BOU	71	SAINT CYR	Le Petit Chorme de Vieil Moulin	796 970	2 187 840	Nappe Val de Saône(formation Saint Cosme)	174g
06288X0096/SB	RHA	01	GEX	Forage PzB - Belle Ferme	887 355	2 154 890	Formations fluvioglaciales du pays de Gex	177
06775X0010/BOURSI	RHA	01	ANGLEFORT	Piezomètre de Boursin - BRGM	870 540	2 108 160	Alluvions récentes du Rhône (marais de Chautagne et Lavours)	542
06512X0037/STREMY	RHA	01	ST REMY	Forage St Rémy - BRGM	819 980	2 136 280	Alluvions fluvioglaciales Couloir de Certines - nappe du SE de Bourg-en-Bresse	151a
06518X0026/P2	RHA	01	TOSSIAT	Forage de Tossiat (Mulaty)	829 960	2 130 600	Alluvions fluvioglaciales Couloir de Certines - nappe du SE de Bourg-en-Bresse	151a
06742X0001/VILLEN	RHA	01	VILLENEUVE	Forage de Villeneuve (Muzard) - BRGM	793 109	2 116 187	Cailloutis plocéno-quaternaires de la Dombes	151a
06993X0226/MEXI_2	RHA	01	MEXIMIEUX	Forage de Combe Mercier (Meximieux 2)	823 425	2 103 250	Alluvions fluvioglaciales de la Plaine de l'Ain	151f
08435X0010/NO8	RHA	26	SAOU	Forage le Pertuis	818 927	1 965 401	Petite plaine d'alluvions susjacentes aux calcaires	179
07948X0038/S	RHA	26	ROMANS-sur-Isère	Piézo. de Romans (Les Balmes - La Ferme)	810 313	2 009 638	Alluvions de l'Isère	152m
08184X0084/PZ1	RHA	26	VALENCE	piezomètre Valence 2 (Nord Ferme Agiron)	807 001	1 997 439	Alluvions fluvioglaciales de la Plaine de Valence	154a
08915X0026/PZ	RHA	26	NYONS	piezomètre de Nyons	821 830	1 931 610	Alluvions de l'Eygues	155a
09153X0024/S	RHA	26	PLAISANS	Piézo. d'Aygues-Astaud (Les Eyaliers)	836 645	1 918 840	Calcaires thioniques des Baronnières	544e
07704X0079/S	RHA	26	MANTHES	Piézo. de la source de Manthes (Lapailanche)	809 650	2 037 490	Alluvions fluvioglaciales de la Plaine de Valloire	152k
07944X0049/S	RHA	26	MARGES	Puit Deroux	812 155	2 018 705	Molasse miocène du Bas-Dauphiné - Terres Froides	152i
08188X0045/BERN	RHA	26	MONTMEYRAN	Piezomètre de Montmeyran (Bernoir)	808 450	1 986 990	Molasse miocène du Bas-Dauphiné - Plaine de Valence Sud / Drôme RD	152i
07464X0005/SM3	RHA	38	MOIDIEU-DETOURBE	Forage de Moidieu-Détourbe (Le Grand Champ)	810 150	2 058 550	Alluvions fluvioglaciales des Vallées de Vienne	152p
07703X0043/SDC	RHA	38	BOUGE-CHAMBALUD	forage de Bouge-Chambalud (Bel Air)	801 824	2 040 982	Alluvions fluvioglaciales de la Plaine de Valloire	152k
07476X0029/S	RHA	38	PENOL	piezomètre Bois des Burettes	823 560	2 044 566	Alluvions fluvioglaciales de la Plaine de Bièvre	152k
07266X0052/PS4	RHA	73	AITON	piezomètre d'Aiton	905 060	2 070 480	Alluvions de l'Isère en Combe de Savoie	325a
07494X0026/CRUET	RHA	73	CRUET	piezomètre de Cruet - BRGM	894 310	2 065 030	Alluvions de l'Isère en Combe de Savoie	325a
06741X0046/F1PLIO	RHA	69	ST GEORGES DE RENEINS	Forage F1 Plocène - BRGM	785 852	2 118 865	Plocène du Val-de-Saône	540b
06505X0080/FORC	RHA	69	TAPONAS	Piezomètre de Taponas	787 450	2 129 350	Plocène du Val-de-Saône	540c
06995C0271/S	RHA	69	GENAS	piezomètre d'Azieu	810 100	2 086 770	Alluvions fluvioglaciales du couloir de Meyzieu	152c
06995C0208/S1	RHA	69	GENAS	Piezomètre des Bouvarets	810 920	2 084 985	Alluvions fluvioglaciales du couloir de Meyzieu	152c
07224X0106/S	RHA	69	ST PRIEST	piezomètre d'Heyrieux (Cheval-Blanc)	806 760	2 078 920	Alluvions fluvioglaciales de la Plaine de l'Est Lyonnais - couloir d'Heyrieux	152e
07231C0252/BUCLAY	RHA	69	HEYRIEUX	piezomètre de Buclay	810 850	2 074 700	Alluvions fluvioglaciales de la Plaine de l'Est Lyonnais - couloir d'Heyrieux	152e
07223C0113/S	RHA	69	CORBAS	piezomètre de Corbas (Pillon)	799 840	2 075 150	Alluvions fluvioglaciales de la Plaine de l'Est Lyonnais - couloir d'Heyrieux (Mions)	152e
07221D0023/S	RHA	69	VOURLES	Piezomètre de Millery	788 520	2 075 240	Alluvions fluvioglaciales du Garon	621d

Indicateur national	Niveau des nappes	Evolution récente	Commentaires
	2	H	Les niveaux piézométriques de la nappe des Grès du Trias inférieur non captif du bassin versant de la Saône présentent des évolutions hétérogènes avec des secteurs en hausse par rapport au mois précédent (station de Relanges) et des secteurs en baisse (station de Plombières). Les niveaux piézométriques apparaissent en moyenne inférieurs aux normales sur la station de Relanges et dans les normales sur la station de Plombières.
	3	B	
IG n23	4	S	Les nappes des cailloutis suivies (Florimont et Oussières) restent stables durant le mois de septembre, avec des périodes de retour supérieures à 5 ans humide. Les nappes alluviales restent stables durant la première quinzaine puis accusent une légère hausse se stabilisant en fin de mois. Les périodes de retour des nappes alluviales sont favorables, toutes supérieures aux moyennes mensuelles interannuelles, voire supérieure à 10 ans humide pour les alluvions de l'Arlier et du Drugeon (Dommartin).
	4	S	
	3	S	
	5	S	
	3	S	
	4	S	La nappe des alluvions profondes de la nappe de la Tille est stable. La période de retour de cette nappe est comprise entre 5 et 10 ans humide. Le niveau de la nappe du sud de Dijon est stable sur le point d'eau de Chenove. La période de retour de cette nappe est comprise entre 10 et 20 ans humide au niveau de Chenove et 5 et 10 ans au niveau de Izeure. La nappe libre calcaire sous alluvions de la Tille a un niveau en baisse. La période de retour de cette nappe est comprise entre 10 et 20 ans humide. La nappe du Val de Saône a un niveau en baisse. La période de retour de cette nappe est comprise entre 5 et 10 ans humide.
	5	S	
	4	S	
	5	B	
	4	B	La nappe du Pays de Gex prolonge sa tendance baissière durant Septembre. Ses niveaux se maintiennent hauts pour la saison, à des valeurs plus que quinquennales de hautes-eaux. Le secteur de Greny reste toujours déprimé. La situation relative ne change pas par rapport au mois précédent. La nappe des alluvions de la plaine du Rhône repart à la hausse, à l'occasion de plusieurs épisodes de recharge courant Septembre. Au final, ses niveaux progressent sensiblement, en s'approchant des valeurs médianes de saison (un peu inférieures). La situation relative évolue favorablement. La nappe des dépôts plio-quaternaires de la Dombes-Bresse prolonge sa tendance baissière, selon une dynamique de vidange conforme à la saison. Ses niveaux restent supérieurs aux médianes saisonnières au mois de Septembre (entre valeurs quinquennales et décennales de hautes-eaux). La situation relative n'évolue pas par rapport au mois précédent.
	3	H	
	5	B	
	4	B	
IG n24	3	B	La nappe des cailloutis de la Dombes entame sa vidange durant le mois de Septembre. Ses niveaux fléchissent et se positionnent en-dessous des valeurs de fréquence quinquennales de hautes-eaux. La situation relative évolue défavorablement, à une époque où se maintient habituellement le stock. La nappe des alluvions fluvioglaciales de la plaine de l'Ain profite d'une nette recharge en première quinzaine de Septembre. Ses niveaux se relèvent et se maintiennent au-dessus de valeurs de fréquence décennale de hautes-eaux pour la saison. Bien que la dynamique soit habituellement dédiée à la recharge, la situation relative s'améliore.
	5	H	
	4	B	
	3	B	La nappe du synclinal de Saou (système mixte karst-alluvions) se vidange en continu sur le dernier mois. Partis de hauts, ses niveaux baissent sensiblement, en restant à peine supérieurs aux médianes de saison. En période habituelle de reprise, cette vidange tardive tend à dégrader la situation par rapport au mois précédent.
	3	B	
IG n25	4	H	La nappe des alluvions anciennes de l'Isère en Plaine de Valence reprend un peu de volume avant de se stabiliser sur la fin du dernier mois. Ses niveaux restent hauts, proches des valeurs quinquennales de hautes-eaux. En période habituelle de hausse, la situation relative ne change pas. La nappe des alluvions anciennes en Plaine de Valence prolonge sa vidange, très régulière, durant tout le mois de Septembre. Ses niveaux baissent selon une dynamique classique pour la saison, tout en restant très hauts (au-dessus des valeurs de hautes-eaux décennales). La situation relative n'évolue pas.
	5	B	
	2	B	La nappe d'accompagnement de la rivière Eygues poursuit sa décline, malgré une recharge en milieu de mois dernier. Ses niveaux, passent au final sous les niveaux de fréquence quinquennale de basses-eaux, pour la saison. La situation relative se dégrade (à un moment où s'amorce habituellement la recharge de l'aquifère).
	0	I	
	4	S	La nappe des alluvions de la Plaine de Valloire oscille durant tout le mois de Septembre, alternant quelques épisodes de recharge et de vidange. Au final, ses niveaux restent hauts pour la saison (supérieurs aux hautes-eaux de fréquence quinquennale). La situation relative n'évolue pas en cette période habituelle de vidange.
	4	S	
IG n25	4	B	La nappe des alluvions fluvioglaciales des vallées de Vienne poursuit encore sa vidange, selon une dynamique très régulière, depuis 3 mois. Ses niveaux fléchissent toujours, en se plaçant désormais entre des valeurs de fréquence quinquennale et décennale de hautes-eaux. La dynamique de baisse restant conforme à la saison, la situation relative n'évolue pas. Les nappes du Bas Dauphiné en Plaine de Bièvre-Valloire prolongent globalement leur vidange, avec quelques secteurs marquant encore une recharge inertielle. Leurs niveaux baissent, en restant à des valeurs entre médianes de saison et niveaux de hautes-eaux décennales (selon les cas). La situation relative n'évolue pas par rapport au mois précédent, en période habituelle de vidange.
	4	B	
	3	H	
	3	H	La nappe d'accompagnement de l'Isère en Combe de Savoie bénéficie d'un épisode de recharge en milieu de mois de Septembre lui permettant d'entrayer une tendance baissière depuis plusieurs mois. Elle maintient des niveaux moyens pour la saison, en attendant une recharge automnale. La situation relative n'évolue pas au final.
	3	S	
IG n24	3	S	La nappe du Plocène du Val de Saône poursuit sa tendance baissière, malgré une faible recharge en milieu de mois de Septembre. Ses niveaux se placent à des valeurs au-dessus des valeurs médianes de saison. En période habituelle de reprise de la recharge de l'aquifère, la situation relative se dégrade un peu. La nappe de l'Est Lyonnais dans le couloir de Meyzieu évolue de façon contrastée durant Septembre. A l'amont du couloir, les très hauts niveaux (supérieurs aux valeurs décennales de hautes-eaux) baissent logiquement, tandis qu'ils remontent en partie centrale, en se situant désormais au-dessus de valeurs quinquennales. La situation relative n'évolue pas, en cette période habituelle de recharge.
	4	H	
	5	B	
	3	S	
	4	H	
	4	H	La nappe de l'Est Lyonnais dans le couloir d'Heyrieux poursuit les tendances du mois dernier en Septembre : elle prolonge une hausse (faible) de ses niveaux sur l'amont (recharge inertielle) reste relativement stable en partie centrale, avec des niveaux moyens; tandis qu'elle poursuit sa lente décline à l'aval du couloir, avec des niveaux encore très hauts (niveaux de fréquence décennale). Au final, la situation relative n'évolue pas.
	5	B	
	3	S	La nappe des alluvions fluvioglaciales de la vallée du Garon se stabilise durant le mois de Septembre, à des niveaux légèrement supérieurs aux normales de saison, avec une faible tendance à la baisse. La situation relative n'évolue pas par rapport au mois précédent.

Code BSS (indice / désignation)	Région	Dépt.	Commune	Lieu-dit (ou nom du point)	Lambert 2 Etendu (m)		Entité hydrogéologique (Réf BDRHF v1)		Indicateur national	Niveau des nappes	Evolution récente	Commentaires
					X	Y	Nom	Code				
09934X0087	PACA	13	ST MARTIN DE CRAU	Le Mas d'Archimbaud (P18B)	799 788	1 851 732	Plaine de la Crau			4	S	Les courbes piézométriques enregistrées dans la nappe de la Crau durant le mois de septembre présentent deux situations, comme c'est classiquement le cas en cette saison : dans la partie nord et centrale, là où les irrigations gravitaires sont excédentaires, la nappe continue à se recharger durant tout le mois. Dans les autres secteurs, la nappe est en baisse continue durant le mois d'août. La baisse dans ce cas est de l'ordre de 10 cm. Aucune recharge liée aux précipitations n'est à enregistrer depuis trois mois sur la nappe.
10193X0151	PACA	13	ISTRES	Peyre-Estève (P29B)	807 453	1 841 949	Plaine de la Crau			4	S	Les niveaux rencontrés durant le mois de septembre 2013 sont dans tous les cas similaires à ceux de septembre 2012, parfois légèrement inférieurs, parfois légèrement supérieurs. Sur un plan statistique, les niveaux moyens du mois de septembre sont proches des niveaux médians, sauf aux limites de la nappe ou dans l'ouest de celle-ci, où les niveaux sont respectivement très supérieurs (proches des décennaux humides) ou inférieurs (proches des quinquennaux secs).
09952X0082	PACA	13	MEYRARGUES	Péage Pont de Pertuis	857 870	1 853 429	Alluvions de la basse Durance			2	S	La nappe de basse Durance n'a pas connu de crue en septembre 2013. Le tarissement de la nappe est général, et est compris entre 10 et 30 cm au cours du mois. Par rapport à septembre 2012, les niveaux sont similaires à légèrement supérieurs cette année de 10 à 20 cm (seule exception : le secteur de Villelaure, où le niveau de septembre 2012 était sensiblement plus haut de 20 à 30 cm qu'il ne l'a été cette année). Les niveaux moyens septembre 2013 demeurent en basse Durance souvent proches des niveaux médians.
09952X0093	PACA	84	PERTUIS	Campagne Martelly	857 624	1 857 733	Alluvions de la basse Durance			1	B	La situation est similaire en moyenne Durance, avec une baisse assez générale en septembre de 10 à 20 cm. Partout, les niveaux de la nappe sont relativement hauts, de 5 à 10 cm au-dessus de ce qu'ils étaient en septembre 2012 et, parfois similaires à ceux-ci.
09436X0138	PACA	05	LA BRILLANNE	Princesse	885 806	1 888 962	Alluvions de la Durance moyenne et amont et de ses affluents			2	S	Statistiquement, le niveau moyen de septembre 2013 est souvent proche du niveau médian mais parfois proche du niveau quinquennal humide
09146X0074	PACA	84	CAMARET-SUR-AIGUES	Quartier Jonquier Morelle	801 046	1 909 656	Plaine d'Orange Sud	IG n°30	0	S	Les nappes des plaines du Vaucluse ont montré au mois de septembre une certaine stabilité (parfois une baisse de quelques cm durant le mois), et sont à des niveaux médians, sur le plan statistique. Par rapport à septembre 2012, les niveaux enregistrés en septembre 2013 sont souvent équivalents ou légèrement inférieurs.	
10247X0096	PACA	83	FREJUS	L'Argens	952 806	1 834 907	Alluvions de l'Argens		0	S	Les nappes alluviales côtières n'ont pas connu de crues importantes durant le mois de septembre. Les niveaux piézométriques ont peu baissé (moins de 10 cm en moyenne), et comme les niveaux des précédents mois étaient relativement hauts, les courbes de septembre 2013 sont en général au niveau, voire au-dessus de celles de septembre 2012.	
10651X0293	PACA	83	HYERES	Le Moulin Premier (P134B)	911 548	1 799 348	Alluvions du Gapeau		4	B	C'est dans les nappes des vallées du Var, de la Môle et de la Siagne que les niveaux sont les plus hauts. Les nappes de l'ouest du département du Var demeurent à des niveaux proches des médianes.	
09995X0028	PACA	06	PEGOMAS	Le Boutéou	970 976	1 853 723	Alluvions de la Siagne		5	H	Dans les secteurs les mieux rechargés, les niveaux quinquennaux humides sont atteints, et souvent dépassés. Dans les autres secteurs (Giscle-Môle, Argens ou Siagne) les niveaux de septembre 2013 sont situés légèrement au-dessus des niveaux médians.	
09724X0023	PACA	06	GILETTE	Le Devens (P2)	990 486	1 882 246	Alluvions de la basse vallée du Var		3	S		
09441X0013	PACA	04	MALLEMOISSON	Le Stade	903 460	1 900 062	Alluvions de la Bléone		2	S		
09173X0018	PACA	04	SISTERON	Puits Isnard	888 531	1 917 849	Alluvions de la haute Durance et du Buech		0	I		
08472X0007	PACA	05	LA ROCHE DE RAME	Usine	935 976	1 981 126	Mont Genève, Casse déserte		2	B	Dans aucune des vallées suivies (du Haut-Drac, de la Bléone, du Buech et de la Haute-Durance), les nappes n'ont connu de crues en septembre. Cependant, la baisse piézométrique continue intervenant dans des nappes déjà hautes, les niveaux enregistrés en septembre 2013 sont supérieurs à ceux de septembre 2012.	
08466X0009	PACA	05	ST JEAN ST NICOLAS	Les Ricoux	907 683	1 970 754	Trièves, Beaumont, Champsaur Sud		3	B	Les niveaux moyens enregistrés en septembre 2013 demeurent élevés, et souvent supérieurs aux niveaux médians	
08944X0003	PACA	04	LE LAUZET - UBAYE	La source Pruneyret	925 470	1 945 810	Queyras - Parpaillon		5	B		
09672X0036	PACA	84	FONTAINE-DE-VAUCLUSE	Sorgomètre, vasque supérieure	824 783	1 883 573	Monts du Vaucluse		3	B		
10453X0295	PACA	83	LA ROQUEBRUSSANNE	Chemin de Cuers	896 946	1 820 685	Provence Est (aquifère karstique de la Loube)	IG n°29	5	B	A la Fontaine-de-Vaucluse, il n'y a pas eu de crue en septembre 2013. Les débits ont régulièrement baissé : de 10,1 m3/s le 01/09, il est passé à 8,2 m3/s le 29/09. Le débit moyen de septembre 2013 s'établit à 9 m3/s, proche du débit humide de fréquence 2,5 ans (9,44 m3/s). Les réserves de cet aquifère, emblématique des calcaires karstifiés, s'étaient bien reconstituées et se comportent comme attendu en cette période d'étiage.	
10241X0173	PACA	83	LA MOTTE	Combaron	939 967	1 842 688	Plan de Canjers - région de Fayence		4	B	Dans les autres réservoirs karstiques, les données disponibles indiquent un comportement similaire, à savoir, sauf exception pas de crue durant le mois, mais une vidange non influencée qui se poursuit, à partir de niveaux relativement hauts, supérieurs aux débits médians.	
09978X0023	PACA	83	CHATEAUDOUBLE	Nartuby, Source des Frayères	930 341	1 851 639	Plan Canjers - Bois de Frannies		0			
10452X0232	PACA	83	MAZAUGUES	source Le Caramy	891 265	1 822 558	Massifs calcaires de Sainte Baume		2	B		
09405X0229	LRO	30	ROCHEFORT DU GARD	piézomètre de Rochefort	790 541	1 890 360	Calcaire urgonien des garrigues du Gard		4	B	En contexte de faibles précipitations, le niveau piézométrique diminue. La situation de l'aquifère se détériore et devient favorable.	
09395X0065	LRO	30	SAINTE ANASTASIE *	piézomètre Nicolas	764 488	1 884 139	Calcaire urgonien des garrigues du Gard BV du Gardon		4	B	En contexte de faibles précipitations, le niveau piézométrique diminue. La situation de l'aquifère reste toutefois favorable.	
09388X0052	LRO	30	LA CALMETTE	piézomètre de Vignot	754 727	1 883 488	Alluvions moyens du Gardon		3	B	En contexte de faibles précipitations, le niveau piézométrique diminue. La situation de l'aquifère se détériore et devient normale.	
09652X0199	LRO	30	NÎMES / COURBESSAC *	Piezomètre Courbessac	766 813	1 874 520	Alluvions quaternaires et Villafranchiennes de la Vistrenque		3	B	En contexte de précipitations limitées, le niveau piézométrique diminue. La situation de l'aquifère se détériore et devient normale.	
09917X0192	LRO	34	MARSILLARGUES / P5	Piezomètre P5CEHM	748 165	1 849 435	Aquifère Villafranchien de mauguio Lunel	IG n°26	2	H	En contexte de précipitations limitées, le niveau piézométrique se stabilise. Toutefois, la situation de l'aquifère se détériore et devient défavorable.	
09915X0181	LRO	34	SAINT-AUNES	piézomètre de Saint Aunes	732 653	1 849 259	Aquifère villafranchien de Mauguio Lunel		4	B	En contexte de précipitations limitées, le niveau piézométrique diminue. La situation de l'aquifère reste favorable.	
09907X0321	LRO	34	ST JEAN DE VEDAS *	Piezomètre Midi Libre	722 815	1 842 290	Calcaires jurassiques Pli occidental de Montpellier - Gardiole Etang de Thau		5	S	En contexte de précipitations limitées, le niveau piézométrique se stabilise. La situation de l'aquifère reste excédentaire.	
10162X0226	LRO	34	COURNONSEC *	piézomètre de Vène	709 938	1 837 862	Calcaire jurassique pli ouest de Montpellier		4	S	En contexte de précipitations limitées, le niveau piézométrique diminue. La situation de l'aquifère reste favorable.	
10157X0104	LRO	34	FLORENSAC *	piézomètre 1777	689 086	1 822 874	Alluvions de l'Hérault		3	S	En contexte de précipitations limitées, le niveau piézométrique diminue. La situation de l'aquifère se détériore et devient normale.	
10405X0124	LRO	34	SERIGNAN	Sérignan F17	676 631	1 812 950	Alluvions de l'Orb		3	S	En contexte de précipitations limitées, le niveau piézométrique diminue. La situation de l'aquifère reste normale.	
10405X0171	LRO	34	VALRAS	Valras	676 325	1 804 274	Astien d'Agde Valras	IG n°27	3	H	En contexte de faibles précipitations, on observe une diminution généralisée des niveaux piézométriques des alluvions du littoral Languedocien. Les situations sont stables ou en baisse selon les secteurs par rapport au mois précédent et sont comprises entre des niveaux défavorables à favorables.	
10116X0237	LRO	11	TREVILLE	piézomètre deTréville	569 530	1 820 374	Graviers, grés et calcaires éocènes - secteur de Castelnaudary		1	B	En contexte de précipitations limitées, le niveau piézométrique diminue. La situation de l'aquifère reste déficitaire.	
10592X0012	LRO	11	COUFFOULENS	piézomètre deCouffoulens	597 806	1 794 807	Alluvions de l'Aude		4	S	En contexte de précipitations limitées, le niveau piézométrique reste stable. La situation de l'aquifère reste favorable.	
10396X0162	LRO	11	MOUSSAN *	piézomètre de Védillan	652 664	1 803 412	Alluvions de la basse vallée de l'Aude		4	S	En contexte de précipitations limitées, le niveau piézométrique diminue. La situation de l'aquifère se détériore et devient favorable.	
10911X0219	LRO	66	ST HIPPOLYTE	Piezomètre Hippo	650 708	1 752 923	Alluvions quaternaires du Roussillon		2	B	En contexte de précipitations limitées, le niveau piézométrique est en baisse. La situation de l'aquifère se détériore et devient défavorable.	
10972X0003	LRO	66	ALENYA	Alenya	652 718	1 737 620	Alluvions quaternaires du Roussillon	IG n°28	4	S	En contexte de précipitations limitées, le niveau piézométrique diminue. La situation de l'aquifère reste favorable.	
10908X0263	LRO	66	PERPIGNAN	Piezomètre Figières	641 491	1 742 808	Aquifère pliocène du Roussillon		3	H	En contexte de précipitations limitées, le niveau piézométrique augmente. Toutefois, la situation de l'aquifère se détériore et devient normale.	
10912X0112	LRO	66	LE BARCARES PN3	Piezomètre Barcarès plage N3	657502	1754148	Aquifère pliocène supérieur du Roussillon		2	H	En contexte de précipitations limitées, le niveau piézométrique est en baisse. La situation de l'aquifère se détériore et devient défavorable.	